

円形曲面壁による波の反射について

北見工業大学 王等部 正貴 佐藤 幸雄
 ハウス 正貴 ○ 鈴木 浩範

1. 収束がき

波の反射に関する研究は数多くなされており、主題を反射に置かなくても護岸堤、防波堤などの海岸構造物の建設に伴う堤体へ消波機構、並びに凹折による波高変動に重要な因子となるいる反射率を求めようとして、また、反射機構をどうえるために、さまざまな形式の構造物による反射・自然の地形による反射に関して実験によるアプローチがなされるとともに、有限要素法の適用などによつて数値計算による波高の算定もなされている。一般に、反射率は入射波高 H_0 と反射波高 H_r との比 H_r/H_0 で表現されているが、鉛直壁による反射においては、壁面に対する波の入射角のちがいによつて反射率の値にかなりの差が生ずる。自然の海岸のように複雑に入り組んだ形状を有している壁面からの反射の場合には、ある地図の波高 H_r はその地図の入射波と反射波との地図からの反射波との合成波高になると考えられるため H_r/H_0 が2.0以上になる場合がある。

本実験は、鉛直壁が円形曲面を描いている場合の円形曲面壁による波の反射に関して実験的解明しようとするものである。

また、Wiegel も円形曲面壁による波の反射に関して実験を行つてゐるが、本実験と比較・検討してみた。

2. 実験装置と実験方法

(a) 実験装置

実験水槽は、幅6.0m、長さ12.0mで表面はモルタル仕上げのものを使用し、造波機はフラッター式で周期・波高はギアによつて調節できるものである。造波板は水槽の幅員とほぼ同じ幅員のものでL字鋼の型枠に遮光ビニール板を張つたものである。

円形曲面壁は高さ50cmのアクリリート板を連ねたものであり、裏側の支えによつて水槽の床から鉛直に固定させ、縦目からの水の入り口を防ぐためシリコントapeで縦目を閉じた。

また、水槽の側壁や曲面外からの反射波を防ぐため図-1の斜線部にブロック・砂利等で消波帶を設けた。

波高計は抵抗線式波高計を使用し、水位傳播器を通してビデオグラフに波高を記録した。なお実験水深は $d = 30\text{cm}$ の等水深である。

(b) 実験方法

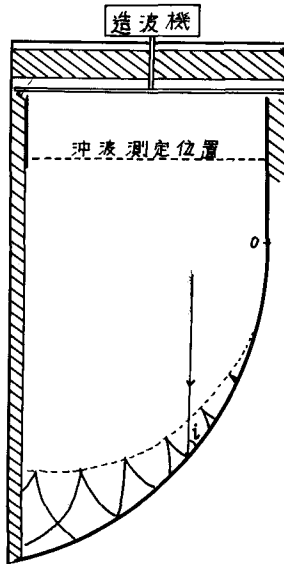
円形曲面壁は半径 r を5.0m, 6.0m, 7.0mに変化させたう種類を使用し、それぞれの半径の円形曲面壁について、う周期ごとに波高を組み合わせた9通りの波について実験を行つた。なお、周期の基準値としては、0.8sec, 1.0sec, 1.2sec. を用い、波高については、2.4cm, 4.5cm, 6.9cmを基準値とした。

冲波波高は図-1の破線の位置において1m間隔で測定しその相加平均をとつて入射波高 H_0 とした。

また、曲面壁からの反射波高 H_r は壁面から2.0cm内側の波高を0度から入射角 θ が大きくなる方向に10cm間隔で測定した。

なお、測定にあたっては、水槽の側壁からの反射波の影響が生じないように注意した。

図-1. 実験水槽と幾何学的反射



3. 実験結果と考察

上記の方法に則り実験を行なつたのであるが、それを並行して写真撮影を行ない曲面内に形成される波峰線の形状や Wiegel が述べている Mach-stem の発生の状況について調べようとした。

図-1 に示した波峰線は、半径 7.0 m の円形曲面壁に波長 1.0 m の波が入射した場合の幾何学的反射によつて形成されるであろうと考えられるものであるが、本実験においては、壁面附近ではこれとよく似た形で波峰線が現われていたが、幾何学的反射領域外の波峰線については、きりとは確認することは出来なかつた。stem に関しては写真撮影ではどうえることができるか、たゞ、肉眼ではその発生が推察できた。Wiegel は崩れ波の形状で stem が発生していると述べているが、本実験では、崩れ波のふうの形状は現われなかつた。これは、実験水深の違いのためと思われる。

また、Wiegel は壁面に対する波の入射角 i によつて、 $i < 20^\circ$ のときは反射波がなく stemのみ、 $20^\circ < i < 45^\circ$ のときは反射波と stem、 $i > 45^\circ$ では stem が発生せずに反射波のみと三形態に分類しているが、本実験では $i < 20^\circ$ のところでも反射波が出てゐると考えられる。図-2、図-3 において $i < 20^\circ$ のところでも H/H_0 の値が振動しているのは反射波のために部分重複波が発生しているためと考えられる。

図-2 は縦軸に壁面の波高 H を水深 d で割りた値 H/d をとり、半径 $R=5.0\text{m}$ の円形曲面壁の場合の各々の H_0/d ごとに i についてプロットしたものである。太い実線は Wiegel が行なつた $R=16\text{ft.}, d=0.132\text{ft.}$ の場合の孤立波による値であり、上から順に $H_0/d = 0.23, 0.16, 0.08$ のものである。本実験による値は $i=10^\circ$ の付近で落ち込むが、これは入射波が周期波であるために部分重複波が生じてゐるためと考えられる。 i が 10° 以上のところでは本実験による値は Wiegel の孤立波による値より低い値をとつてゐるが、 i の増加とともに H/H_0 が増加する傾向はよく似ている。

図-3 は縦軸に H/H_0 をとり、円形曲面壁の半径 R を変化させた場合の H/H_0 について i に肉してプロットしたもので、(a) は周期 $T \approx 0.8\text{sec.}$ (b) は $T \approx 1.0\text{sec.}$ (c) は $T \approx 1.2\text{sec.}$ のものである。

波長 λ が一定の場合には、円形曲面壁の曲率の変化に関係なく、 H/H_0 が最大値となることはほとんど変わらない。また、 H/H_0 の増加の傾きも非常に似ている。これは、円形曲面壁による波の反射の場合、波の入射角 i が非常に重要な因子であることを示しており、同一波長の場合には入射角 i で反射率が定まると言えるほどである。

波長 λ が変化した場合には、 λ が短かいほど H/H_0 は振動を数多くして増加していく、 λ が長くなるにつれて振動数は少なくなるが、これは H がある地底の入射波とその地底の反射波とその他の地底からの反射波との合成波高を考えられるので、当然振動数は波長が長くなるほどその数は少なくなる。また λ が長くなると合成波の成分のうち、その他の反射波は i の小さな直角反射率の小さな直角からの反射波であること、曲面内の入射波の峰の数が少なくなることから合成波高は小さくなるはずである。本実験では、図-3 のように H_{max}/H_0 が現われる前までは、 λ の長いものは H/H_0 は小さくなる、ているが H_{max}/H_0 が現われる直前にみると H/H_0 の増加は急激になり、 H_{max}/H_0 は波長の長いものはほど大きな値をとる。また波長が長いほど H_{max}/H_0 の現われる i の値は一定となり、 $\lambda = 96 \sim 100 \text{ cm}$ では $i = 36 \sim 52^\circ$ 、 $\lambda = 140 \sim 145 \text{ cm}$ では $i = 49 \sim 54^\circ$ 、 $\lambda = 186 \sim 197 \text{ cm}$ では $i = 46 \sim 52^\circ$ で H_{max}/H_0 が現われた。

4. あとがき

本実験によると円形曲面壁による波の反射においては波の入射角 i が重要な因子であることが確認されたが、波長に拘束しては更に多種類の波について実験を行なう必要があるだろう。また本実験においては壁面の波高だけを測定したが、波峰線の形状・STEM の発生を明確にとらえるためには曲面内部の直角の波高を測定する必要があると考えられる。特に STEM に関しては壁面附近の波高に大きな影響を及ぼすものであるので、これを明確にじらうる方法の検討が必要である。また、不等水深の場合についても言うまでもないだろう。

おりにあたって、本実験を行なうに当たって、実験・計算に協力してくれた本専学生の河野・西谷両君に謝意を示す。

(参考文献) ・水理公式集(土木学会編・46年版) ・海岸工学講習会論文集(13回, 18回, その他), それに
COASTAL ENGINEERING (water wave equivalent of Mach-stem, by R. L. Wiegel)

